

## الفصل الخامس

### الاعتبارات الديناميكية الحرارية والحركية

#### Thermodynamic and kinetic Considerations

##### ٥.١) تأثير الحلقة الضخمة

###### The Macrocyclic Effect

إن المترابكات مع المرتبطات متعددة السن<sup>(١)</sup> تكون أكثر استقراراً من تلك المحتوية على نفس عدد المرتبطات أحادية السن المكافئة. إنه امتداد واضح ليسأل ما إذا كانت المرتبطات الحلقة تعطي مترابكات أكثر استقراراً من مرتبطات السلسلة المفتوحة المناظرة. هذه بالفعل الحالة، وتوصف الظاهرة كتأثير الحلقي الضخم. كما يعتمد العديد من تطبيقات المرتبطات الحلقة الضخمة على تأثير الحلقة الضخمة هذا وسوف نفحص في هذا الفصل الأصول ونتائج هذه الاستقرارية الإضافية.

(١) يعرض تأثير المخلية أن المترابكات بمرتبطات متعددة السن تكون أكثر استقراراً من تلك بعدد مكافئ لمرتبطات أحادية السن مشابهة. هذه الملاحظة البسيطة على ما يبدو تكون معقدة عندما تدرك أن أبعاد K مختلف بين التحالب والمرتبطات أحادية السن.

### (٥.٢) تكميم تأثير الحلقة الضخمة

#### Quantification of the Macroyclic Effect

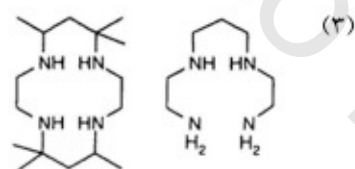
أول ما حُدد تأثير الحلقة الضخمة<sup>(٢)</sup> كان لمتراكب النحاس الثنائي من المرتبط 5.1 (المعادلة رقم ٥.١) الذي وجد أنه أكثر استقراراً بـ  $10^4$  مرة من المتراكب المناظر مع رباعي الأمين مفتوح السلسلة 5.2.



لقد لوحظ أيضاً في هذه الدراسة المبكرة أن سرعة تنايسق 5.1<sup>(٣)</sup> كانت أبطأ كثيراً جداً ( $10^{-3}$  -  $10^{-4}$  مرة) من ذاك لـ 5.2. وأثبتت هذه الملاحظة لكي تكون عامة، أن المركبات الحلقة الضخمة بشكل ثابت تقريباً أكثر استقراراً من تلك المرتبطات مفتوحة السلسلة المكافئة. على أية حال، يصبح التأثير تافعاً مع الحلقات المرنة الكبيرة جداً المحتوية على ذرات مانحة.

قبل أن نناقش أصول التأثير الحلقي الضخم بالتفصيل، يجب أن نؤكّد الصعوبات التجريبية التي تم مصادفتها في مثل هذه الدراسات. وقد تستغرق أنظمة

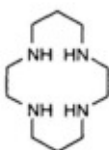
(٢) يوضح تأثير الحلقي الضخمة أن المركبات بمربطات حلقة ضخمة أكثر استقراراً من تلك بمربطات السلسلة المفتوحة المكافئة.



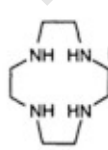
(5.1)

(5.2)

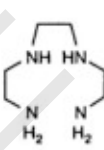
التفاعل أياماً أو أسابيعاً للوصول إلى الاتزان، دفع الطرق الحرارية (الكلوريمترية) إلى حدودها. مع بعض الأيونات الفلزية، قد يوجد صنف محلول مختلف اختلافاً في عدد التناسق و/أو حالة المغزلية. تكمن المشكلة الأخرى في المقارنة مع "مرتبطات السلسلة المفتوحة المكافئة". بوضوح يجب أن تكون الذرات المانحة هي نفسها في النوع الخلقي الضخم والسلسلة المفتوحة-. ستكون مقارنة مانحات الأكسجين مع مانحات الفوسفور عديمة الجدوى. مع ذلك، تحتاج أكثر عدد من النقاط غير الملحوظة أيضاً لتكون معنونة بخصوص طبيعة المجموعات الفاصلة بين الذرات المانحة. بينما 5.2 يكون النموذج الجيد المختتم لـ 5.1 أو السيكلام، و 5.3 سيمثل السيكلين، فهل 5.4، 5.5 أو 5.6 سيكون هو الأفضل بالنسبة إلى [15]aneN<sub>4</sub>? إذا مثلنا نمط مجموعات الميثيلين ضمن 5.4 كـ 2333، من ثم 5.4 يقدم المجموعة 233، 5.5 مجموعة 323 و 5.6 مجموعة .333.



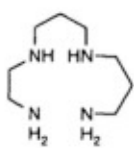
cyclam



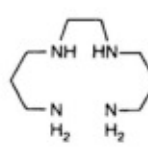
cyclen



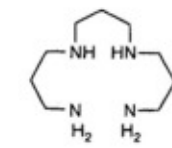
(5.3)



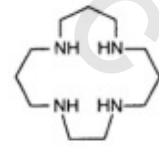
(5.4)



(5.5)



(5.6)

[15]aneN<sub>4</sub>

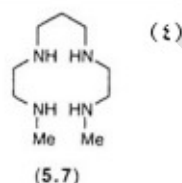
علاوة على ذلك ، فإنه من المعقول مقارنة السيكلام بأربعة أمينات ثانوية ، إلى 5.1 بمجموعتين أمينو أولية ومجموعتين أمينو ثانوي ، أو هل سيكون <sup>(٤)</sup> هو النموذج الأفضل ؟ في المناقشة التفصيلية التالية ، سوف تناقش حلقات الرباعي أزا الضخمة ، لكن تطبق البراهين العامة على حد سواء إلى الأنظمة المانحة الأخرى.

### ٥.٣) أصل تأثير الحلقة الضخمة

#### The Origin of the Macroyclic Effect

من المغرى جداً الاقتراح بأن للتأثيرات المخلبية والحلقية الضخمة أصل مشترك في مصطلح الأنترودية (درجة التعادل الحراري) entropic. ولكن لسوء الحظ ، لم تثبت هذه لتكون الحالة ، وبعد مدة طويلة من المناقشة الحادة ، اتضح الآن أنه ليس ممكناً لأن تنسب لأصل واحد إلى التأثير الحلقي الضخم. حقاً يأتي أفضل ملخص من بولتي Paoletti الذي ينص على "أن تأثير الحلقة الضخمة ملاحظة تجريبياً لكن تقييمه الكمي الصحيح يكون مهمة صعبة".

وقد ظهر معظم التشويش المبكر لأنه لم تتفق التقديرات الديناميكية الحرارية تحت ظروف القوة الأيونية أو المذيب المشابه ؛ بالفعل ، فمن المعروف الآن أن تأثيرات التذابح تكون حرجية وبأن - على سبيل المثال - الاختلافات بين 9:1 و 9.5:0.5 لها تأثيرات حرجية على البارمرات الديناميكية الحرارية ، بالإضافة إلى أن الدراسات المبكرة لمتراكبات النيكل الثنائي مع السيكلام والمرتبطات ذات العلاقة لم



تدرك بالكامل بأن المحاليل المائية تحتوي على كل من منخفض المغزلية، الـ  $[NiL]^{2+}$  مربع مستوي، الأصفر، وعالي المغزلية، نوع  $[NiL(H_2O)]^{2+}$  ثانوي الأوجه، الأزرق. تسمح الدراسات المعتمدة على درجات الحرارة بالحصول على قيم  $\Delta H$  و  $\Delta S$  ويعرض الجدول رقم (٥.١) بيانات بالنسبة لمترابكات عالية - ومنخفضة المغزلية تشكلت بالنيكل الثنائي مع السيكلام والمربط ٥.٢ عند درجة حرارة ٢٩٨ كلفن.

الجدول رقم (٥.١). البيانات الديناميكية الحرارية لتشكيل مترابكات النيكل الثنائي عند ٢٩٨ كلفن.

| المربط | منخفض - المغزلية                    |                              | عالي - المغزلية                     |                              |
|--------|-------------------------------------|------------------------------|-------------------------------------|------------------------------|
|        | $\Delta H$<br>/kJ mol <sup>-1</sup> | TAS<br>/kJ mol <sup>-1</sup> | $\Delta H$<br>/kJ mol <sup>-1</sup> | TAS<br>/kJ mol <sup>-1</sup> |
| cyclam | -77.2                               | 49.3                         | -100.8                              | 24.3                         |
| ٥.٢    | -66.1                               | 21.7                         | -80.3                               | 10.9                         |

تُظهر البيانات أن كل من الأنتروبية والتأثيرات الأنثالية يساهمان في التأثير الخلقي الضخم (يعنى آخر: أن  $\Delta G^{\circ}$  لتشكيل المترابك الخلقي يكون أكثر سالبية من المترابك مع ٥.٢).

الجدول رقم (٥.٢). البيانات الديناميكية الحرارية (٢٩٨ كلفن) لمترابكات  $[CuL]^{2+}$  مع مربطات مانحة  $N_4$ .

| المربط                | lg K | $\Delta H$ /kJ mol <sup>-1</sup> | TAS /kJ mol <sup>-1</sup> |
|-----------------------|------|----------------------------------|---------------------------|
| cyclen                | 24.8 | -95.0                            | 46.5                      |
| [13]aneN <sub>4</sub> | 29.1 | -166.0                           | 107.1                     |
| cyclam                | 27.2 | -155.2                           | 135.6                     |
| [15]aneN <sub>4</sub> | 24.4 | -139.2                           | 110.9                     |
| [16]aneN <sub>4</sub> | 20.9 | -119.3                           | 83.7                      |

(٥)

$$\Delta G = \Delta H - T\Delta S$$

$$\Delta G = -RT \ln K$$

$$\frac{d(\ln K)}{dT} = -\frac{\Delta H}{RT^2}$$

## تابع الجدول رقم (٥.٢)

| المرتب             | $\lg K$ | $\Delta H / \text{kJ mol}^{-1}$ | $T\Delta S / \text{kJ mol}^{-1}$ |
|--------------------|---------|---------------------------------|----------------------------------|
| 5.3 <sup>(٦)</sup> | 20.2    | -115.3                          | 90.4                             |
| 5.2                | 23.9    | -136.4                          | 115.9                            |
| 5.5                | 21.8    | -124.5                          | 108.4                            |
| 5.6                | 17.3    | -98.8                           | 81.6                             |
| 5.8                | 20.9    | -119.3                          | 88.3                             |
| 5.7                | 21.89   | -124.9                          | 108.4                            |
| 5.9                | 18.50   | -105.6                          | 93.1                             |
| 5.10               | 14.62   | -83.4                           | 62.3                             |

ربما يفحص أيضاً دور المركب النموذجي وحجم الحلقة. يقدم الجدول رقم (٥.٢) البيانات لمترابكات النحاس الثنائي مع سلسلة من مرتبطات الرباعي أزا والمركبات النموذجية.

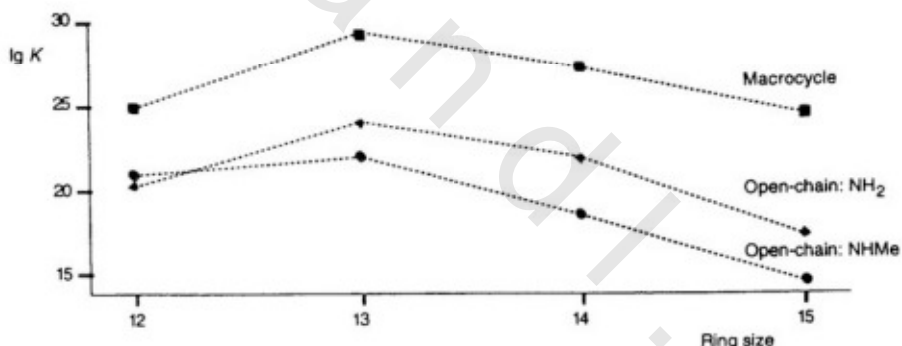
التأثير الأول للملاحظة: هو أنه عند مقارنة المربطة الحلقيه الضخمة بنظيرتها مفتوحة السلسلة، فإن كل من التأثيرات الأنثالية والأنتروبية تفضل المترابك الحلقي الضخم. أما الثاني: فقد لوحظ تأثير حجم الفجوة بأقصى استقرارية عند

(٦)

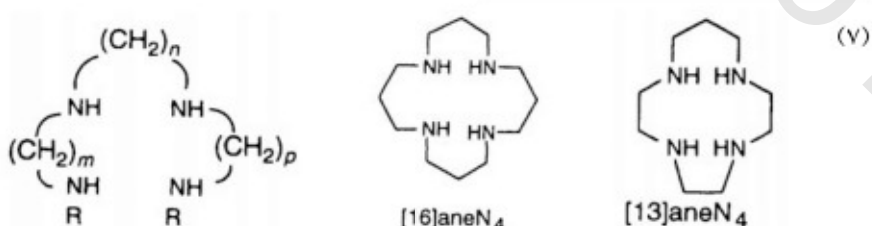
|      | <i>m</i> | <i>n</i> | <i>p</i> | R  |
|------|----------|----------|----------|----|
| 5.3  | 2        | 2        | 2        | H  |
| 5.2  | 2        | 3        | 2        | H  |
| 5.5  | 3        | 2        | 3        | H  |
| 5.6  | 3        | 3        | 3        | H  |
| 5.8  | 2        | 2        | 2        | Me |
| 5.7  | 2        | 3        | 2        | Me |
| 5.9  | 3        | 2        | 3        | Me |
| 5.10 | 3        | 3        | 3        | Me |

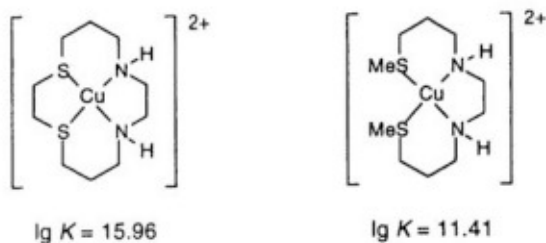
الحلقة المكونة ثلاثة عشر عضواً في  $[13]\text{aneN}_4$ <sup>(٧)</sup>. وأخيراً تتصرف المرتبطات المؤلكلة بشكل مختلف بعض الشيء إلى النوع مفتوح السلسلة بمجموعتي أمين  $\text{NH}_2$  طرفيتين. مثلما يبين الرسم البياني K Ig (الشكل رقم ٥.١)، أن المرتبطات المؤلكلة تقدم النموذج الأفضل للنوع الحلقي الضخم والاتجاهات الموازية لبعضهم البعض، بينما تميل المرتبطات بمجموعات الأمين  $\text{NH}_2$  إلى الالتقاء مع الحلقات الضخمة.

تحدث الاتجاهات المشابهة مع الإثيرات التاجية، حلقات ضخمة مختلطة الذرات المانحة أو كبريت على مقارنتها بنظيرتها مفتوحة السلسلة، وعلى الرغم من الأهمية النسبية لمساهمات الأنثاليبي والأنتروبيي فإنها متغيرة جداً. والمثالان النموذجيان معطيان في صفحتي ١١٣، ١١٤.

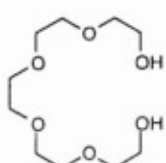


الشكل رقم (٥.١). اتجاهات ثوابت الاستقرار لمتراكبات  $[\text{CuL}]^{2+}$  كدالة لحجم الحلقة ونوع المرتبط.

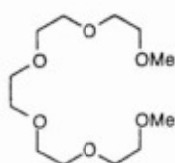




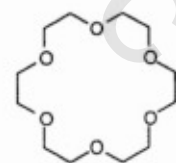
سلسلة المرتبات 5.13-5.11 كل الأيونات الفلزية القلوية المتৎقة، وللمترابكبات 1:1 مع أيونات البوتاسيوم قيم  $\lg K = 1.27$  ،  $2.05$  و  $6.05$  على التوالي. مرة ثانية، فإن تأثير الحلقة الضخمة فعال، والمتراكب مع المرتبط 5.13 مستقر فيما يتعلق بالمركبات مفتوحة السلسلة المكافئة 5.11 و 5.12. ترتبط أيونات البوتاسيوم في حالة 5.12 و 5.13 ، ويظهر العامل السائد مصطلح الأنثاليبي (الجدول رقم ٥.٣)، لكن تشير مقارنة البيانات الديناميكية الحرارية لتشكيل مترابكبات الصوديوم من 5.12 و 5.13 إلى أن مصطلح الأنثاليبي هو السائد! يعتمد التوازن الدقيق بين المصطلحات المختلفة على المذيب المرتبط الخاص قيد الدراسة وتتوفر الأيونات للتৎقة إلى المراكز الفلزية.



(5.11)



(5.12)



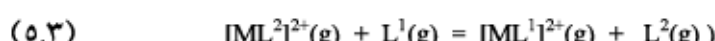
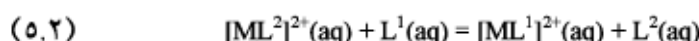
(5.13)

الجدول رقم (٥.٣). البيانات الديناميكية الحرارية لمتراكيات البوتاسيوم والصوديوم مع المرتبطات

.٥.١٣

|                 | ٥.١٢    |                                     |                              | ٥.١٣    |                                     |                              |
|-----------------|---------|-------------------------------------|------------------------------|---------|-------------------------------------|------------------------------|
|                 | $\lg K$ | $\Delta H$<br>/kJ mol <sup>-1</sup> | TAS<br>/kJ mol <sup>-1</sup> | $\lg K$ | $\Delta H$<br>/kJ mol <sup>-1</sup> | TAS<br>/kJ mol <sup>-1</sup> |
| Na <sup>+</sup> | 1.0     | -38.26                              | -32.23                       | 4.33    | -33.95                              | -9.21                        |
| K <sup>+</sup>  | 2.27    | -34.16                              | -21.18                       | 6.05    | -55.29                              | -20.76                       |

من الصعب جداً الحصول على فهم نوعي أو كيفي لأصل تأثير الحلقة الضخمة. ومع ذلك فقد ظهر مصطلح الأنثاليبي المناسب ليكون كاملاً تقريباً نتيجة التذابُوب التفاضلي للمرتبطات مفتوحة السلسلة والحلقية الضخمة. ويمكن أن يظهر تأثير الحلقة الضخمة في الاتزانات ٥.٢ و ٥.٣ ، حيث <sup>١</sup>L يكون حلقياً ضخماً و <sup>٢</sup>L يكون سلسلة مفتوحة. إذا كان المتراكب الحلقي الضخم أكثر استقراراً، فمن ثم يجب أن يقع التفاعل ناحية اليمين، كما نعرف الحالة للمعادلة رقم (٥.٢). إن هذا المنهج يؤكّد أن التأثير ينشأ من الاختلاف في استقرارية المتراكبات مع المرتبطات مفتوحة السلسلة والحلقية الضخمة. وتتعلق المعادلة رقم (٥.٢) بتبادل المرتبطات مفتوحة السلسلة بالحلقية الضخمة في المحلول المائي؛ حيث تشير المعادلة رقم (٥.٣) إلى عملية الطور الغازي (افتراضية). إذا كان التذابُوب هو السمة السائدة، فمن ثم سوف يختفي المصطلح  $\Delta H$  المناسب بالنسبة للمعادلة رقم (٥.٢) في الطور الغازي وسوف يقترب المصطلح الأنثاليبي للمعادلة رقم (٥.٣) إلى الصفر.



إن التغيرات الأنثالية للمعادلتين رقمي (٥.٢) و(٥.٣) ذات علاقة مرتبطة كما هو موضح بالمعادلة رقم (٥.٤).

$$(5.4) \quad \Delta H(aq) = \Delta H(g) + \{\Delta_{hyd}H([ML^1]^{2+}) - \Delta_{hyd}H([ML^2]^{2+})\} \\ + \{\Delta_{hyd}H(L^2) - \Delta_{hyd}H(L^1)\}$$

يمكن تعريف الحدود المختلفة في المعادلة رقم (٥.٤) ،  $\Delta H(aq)$  و  $\Delta_{hyd}H(L^2)$  و  $\Delta_{hyd}H(L^1)$  عملياً. إذا كانت طاقات الإماهة (التعيُّن) للمترابطين مفترضة لتكون متشابهة تقريباً، فإن التأثير الخلقي الضخم يختفي غالباً في الطور الغازي. فمثلاً، عند مقارنة مترابطات النحاس الثنائي بالمرتبط 5.2 والسيكلام وجد أن:  $\Delta H(aq) = -19.7 \text{ kJ mol}^{-1}$  و  $\Delta H(g) \approx 0 \text{ kJ mol}^{-1}$  و  $\Delta_{hyd}H(cyclam) - \Delta_{hyd}H(5.2) = -19.2 \text{ kJ mol}^{-1}$

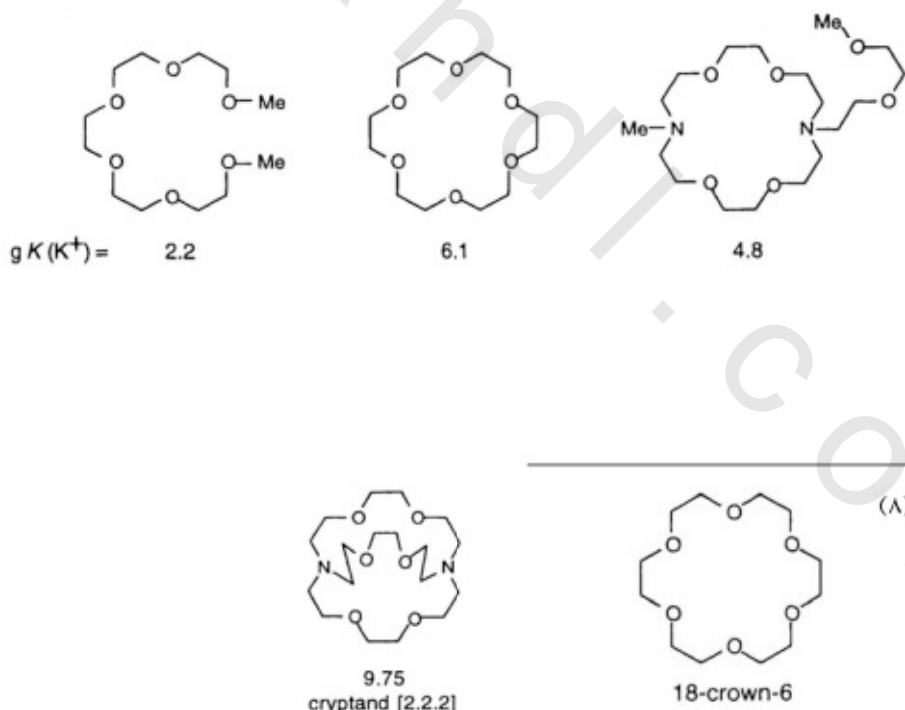
والتفسير الفيزيائي هو أن المرتبط مفتوح السلسلة أكثر ذوباناً ( $\Delta_{hyd}H$  سالب) من المرتبط الخلقي الضخم. وطبقاً لذلك، تقع المعادلة رقم (٥.٢) – لكن ليست المعادلة رقم (٥.٣) – إلى الناحية اليمنى. في المعادلة رقم (٥.٣) يرتبط الفلز – المرتبط واستقراريات الطور الغازي للمرتبطات تكون متماثلة بدون أي اعتبار للمرتبط سواء كان مفتوح السلسلة أو خلقياً ضخماً.

ومن الصعب إعطاء التفسير الطبيعي للمكون الأنتروبي. وللمربطات الخلقية دورانية وحرية انتقالية أقل من المربطات مفتوحة السلسلة، ولهذا سيكون هناك أقل تأثير ترتيب مفاجئ على تناسق الحلقة الضخمة إلى الفلز من مربطات مفتوحة السلسلة. بكلمة أخرى، الذرات المانحة في الحلقة الضخمة ترب سابقاً للتناسق. تكون تغييرات الأنتروبي المرتبطة بالذرواب أقل سهولة للتوقع، لكنها مهمة.

## (٥.٤) تأثير الكريبيتات

**The Cryptate**

بنفس الطريقة تعطي تلك المرتبطات الحلقية الضخمة متراكبات أكثر استقراراً من المرتبطات مفتوحة السلسلة، وتشكل المرتبطات الحلقية المتعددة متراكبات أكثر استقراراً من الحلقات الضخمة المنشورة. فمثلاً، متراكب البوتاسيوم من ١٨ - تاج<sup>(٦)</sup> يكون أكثر استقراراً بحوالي ١٠<sup>٤</sup> مرة من ذاك النظير بسلسلة مفتوحة. والاختلاف المشابه في الاستقرارية موجود بين المتراكبات مع الكريبيتاند [2.2.2] والنظير الحلقي الضخم. ولم يدرس الأصل الدقيق لتأثير الكريبيتات بنفس التفصيل مثل تأثير الحلقة الضخمة، لكنه يبدو مرجحاً اتزان الحدين الانثالبي والأنتروبي، سوياً مع التذوب التفاضلي، يكون مهمًا.

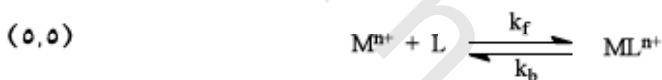


## (٥.٥) السمات الحرارية للكيمياء التناسقية الحلقة الضخمة

**Kinetic Aspects of Macroyclic Coordination Chemistry**

لقد فحصنا في الأجزاء السابقة الديناميكية الحرارية للتناسق ببعض التفصيل. ونتمعن الآن معدلات سرعة التفاعلات المختلفة - هل التفاعلات مع المرتبطات الحلقة الضخمة أسرع أو أبطأ جداً من تلك مع مرتبطات مفتوحة السلسلة؟ إن الجواب البسيط هو أن كلاً من التناسق وتفاعلات تفكك المرتبط مع المرتبطات الحلقة الضخمة تكون أبطأ عادةً من نظيراتها مفتوحة السلسلة. وسوف يفحص الآن أصول ونتائج هذا السلوك الحراري.

من الملاحظ أن ثابت الاتزان  $K$  لتشكيل المترافق يتعلق بسرعات التفاعلات الأمامية والخلفية (المعادلتين رقمي (٥.٥) و(٥.٦)).



$$(5.6) \quad K = \frac{[ML^{n+}]}{[M^{n+}][L]} = \frac{k_f}{k_b}$$

وعلى الرغم من أن  $K$  للمرتبطات الحلقة الضخمة أكبر إلى حد كبير جداً من مرتبطات مفتوحة السلسلة، فإننا لا نستطيع قول أي شيء بدأه حول القيم المطلقة  $k_f$  و  $k_b$  نظراً لأنها هي فقط النسبة التي تحكم في الاستقرارية. عملياً، تكون سرعة تشكيل المترافقات أبطأ بـ  $10^{-4}$  مرة من المرتبطات مفتوحة السلسلة.

### ٥.٦) تشكيل المتراكبات الحلقة الضخمة

#### Formation of Macrocyclic Complexes

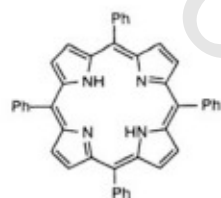
مرة أخرى ، سنبدأ بحلقات الرباعي أزا الضخمة. وعموماً فإن سرعة تشكيل المتراكبات ( $k_f$ ) مع المرتبطات الحلقة الضخمة أبطأ منه مع نظائره مفتوحة السلسلة (الجدول رقم ٥.٤). تُظهر المرتبطات الحلقة الضخمة بحجم فراغية أكبر حركية تشكيل أبطأ (٥.١ مقابل ٥.٢) ، لكن لا تعتمد سرعة التشكيل في أغلب الأحيان تقريباً على حجم الحلقة (السيكلين مقابل السيكلام). السرعات مع الحلقات الضخمة الصلبة مثل ميزو- رباعي فينيل بورفرين<sup>(٤)</sup> أبطأ، ويتشكل مترافق النحاس الثنائي بسرعة  $.k_f \approx 10^{-2} \text{ M}^{-1} \text{ s}^{-1}$ .

الجدول رقم (٥.٤). سرعات تشكيل متراكبات النحاس الثنائي مع حلقات الرباعي أزا في

محلول مائي حمضي.

| L      | $k_f / \text{M}^{-1} \text{ s}^{-1}$ |
|--------|--------------------------------------|
| 5.2    | $10^8$                               |
| سيكلام | $10^6$                               |
| 5.1    | $\approx 10^4$                       |
| سيكلين | $\approx 10^6$                       |

(٤)

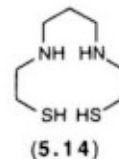
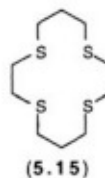
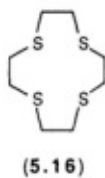


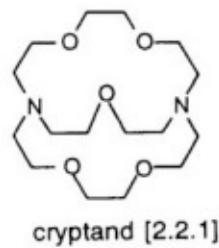
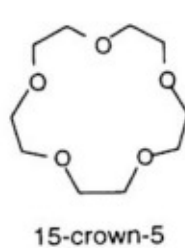
meso-tetraphenylporphyrin

إن دراسة هذه العمليات مع حلقات الرباعي أزا معقدة بتأثيرات الأس الهيدروجيني pH. في الحالات الحمضية، ومن الضروري أن يؤخذ بعين الاعتبار المرتبطات المبرتبة والأنواع مثل  $L$ ،  $LH^+$ ،  $LH_2^{2+}$ ،  $LH_3^{3+}$  و  $LH_4^{4+}$  لكل من الدراسات الحركية والديناميكية الحرارية. وعلى النقيض من ذلك، لا تترتبن المرتبطات في المحلول القاعدي؛ على أية حال، فالإيجونات الفلزية تكون موجودة كهيدروكسى متنوع أو نوع أكسو. يتم الالتفاف حول هذه المشاكل إلى حد ما بدراسة الحلقات الضخمة الأقل قاعدية. تتشكل متراكبات النحاس الثنائي من مرتبطات 5.14، 5.15 و 5.16<sup>(١٠)</sup> مع سرعة  $10^6 \text{ s}^{-1}$ ،  $k_f \approx 10^3 \text{ M}^{-1}$  على التوالي. مرة أخرى، للمرتبطات الحلقة الضخمة سرعات تناسق أبطأ ويرى في هذه الحالة تأثير حجم الفجوة.

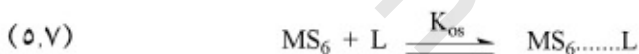
إذا وصلنا الآن إلى الإثيرات التاجية والكريبيتاندات، القصة أقل وضوحاً، مع كون قيم  $k_f$  لا تعتمد تقريباً على حجم فجوة المرتبط أو حتى على الذهب من الحلقة الضخمة إلى الكريبيتاند. تتفق معظم الدراسات على أن التفاعلات تكون عمليات متعددة الخطوة، لكنها لا توضح كيف تتفاوت الخطوة المحددة للسرعة بين الأنواع المختلفة للمرتبط. إن قيم  $k_f$  لتركيب أيون البوتاسيوم مع ١٨ - تاج - ٦، ١٥ - تاج - ٥ والكريبيتاندات [2.2.2] و [2.1] هي  $4.3 \times 10^8$ ،  $4.3 \times 10^8$ ،  $4.7 \times 10^8$  و  $3.8 \times 10^8 \text{ M}^{-1} \text{ s}^{-1}$  على التوالي.

(١٠)





كيف يمكننا تخيل تناقض المربطات الحلقيه الضخمة إلى الأيون الفلزي؟  
لتلخيص المقدار الكبير من الاجتهد وعمل متناقض في أغلب الأحيان، تظهر (تشاء) الصورة التالية. إن تشكيل المترافق الحلقي الضخم ذاتي من نوع  $MS_6$  يتبع آلية إيجن - ويلكنز Eigen-Winkens أو إيجن - وينكلين Eigen-Winklen. وتتضمن الخطوة الأولى تشكيل المترافق خارج المجال الكروي بثابت الاستقرار  $K_{os}$  (معادلة رقم ٥.٧).

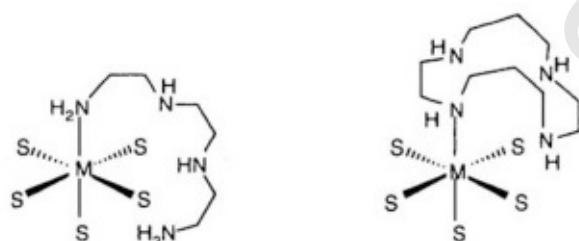


هذه تكون متfollowing بعملية التبادل التي تتشكل فيها رابطة المترافق والفلز الجديدة الأولى متfollowing بالخطوات اللاحقة التي تتشكل فيها روابط  $M-L$  بشكل متسلسل (المعادلين رقم (5.8) و(5.9)).

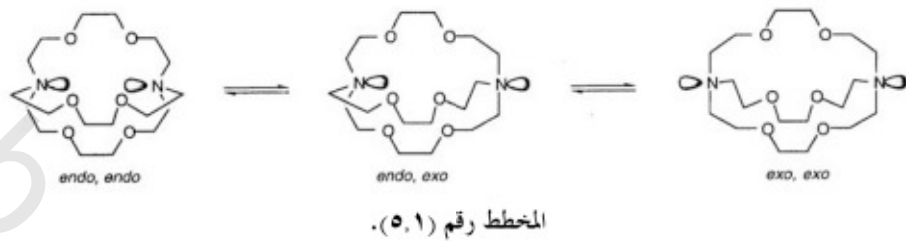


أي خطوة من هذه الخطوات قد تكون هي الخطوة المحددة للسرعة. فعلى سبيل المثال، في حالة المرتبطات مفتوحة السلسلة مثل ٥.٢، تبيّن من تشكيل الرابطة M-N الأولى أنها هي المحددة للسرعة، بينما مع السيكلاض فإن تشكيل الرابطة M-N الثانية هي المحددة للسرعة الكلية. أما فيما يتعلق بتناسق السيكلاض ٥.٢ فيمكن أن يكونرأي المنشآ الآن في المرونة المختزلة للمرتبط الحلقي الضخم. وبالتالي من تشكيل الرابطة M-N الثانية في كل حالة. مع ٥.٢، يستطيع المرتبط الدوران بحرية حول الروابط C-C و N-C لوضع ذرة النتروجين الثانية الصحيحة للتتناسق بدون عواقب فراغية لبقية المرتبط. وعلى النقيض من ذلك، بالنسبة لسيكلام لوضع مانح النتروجين قبل التنساق، سوف يُجبر المرتبط إلى الهيئة عالية الطاقة، وبناء عليه سيكون حاجز الطاقة للتفاعل أعلى (الشكل رقم ٥.٢).

إن تغيير الهيئة (الترتيب) داخل المرتبط مهم، في حالة الكربيتاندات مثل [٢.٢.٢]، فإنه يعتقد بأن هيئة المرتبط تتغير عند مرحلة تشكيل المترافق خارج المجال الكروي. في المحلول، فالشكل السائد هو الهيئة (الترتيب) داخلي endo ، داخلي ، لكن هذه ليس لها أزواج منفردة موجهة ظاهرياً للتتناسق، والشكل السائد فقط هو خارجي exo ، داخلي (أو خارجي ، خارجي) يمكن أن يؤدي إلى التفاعل (المخطط رقم ٥.١).



الشكل رقم (٥.٢). الحالات الانتقالية المحملة قبل تشكيل الرابطة M-N الثانية لـ ٥.٢ وتناسق المرتبط السيكلاض؛ S = جزيء مذيب.



للتلخيص، فإن سرعة تشكيل المترابكات الحلقة الضخمة دائمًا أبطأ، وأبطأً جداً في بعض الأحيان، من تلك المرتبطات مفتوحة السلسلة.

### (٥.٧) تفكك المترابكات الحلقة الضخمة

#### Dissociation of Macro cyclic Complexes

تقديم المعادلة رقم (٥.٦) العلاقة بين  $K$ ،  $k_b$  و  $k_f$  لحلقات رباعي أزا الضخمة، استقرارية عالية نتيجة لتفاعلات التفكك البطيئة جداً بقيمة  $k_b$  صغيرة. عموماً، تكون قيمة  $k_b$  أصغر بـ  $10^6$  إلى  $10^7$  مرة من تلك لنظيرتها مفتوحة السلسلة. ومع ذلك، تكشف الدراسة الفحصية لحركة التفكك أن الوضع أكثر تعقيداً إلى حد بعيد جداً. إن مترابكات المرتبطات الحلقة الضخمة رباعي الأزا مستقرة جداً وتفككها في المحلول المتوازن بطبيعة بشكل غير محسوس. توضح قوانين السرعة أن الاعتماد متباوت إلى  $[H^+]$ ، مشيراً إلى مشاركة الوسيط التي تبرهن (إضافة بروتون) فيها واحدة أو أكثر من مانحات النتروجين - وبمعنى آخر: النوع الذي تنكسر فيه رابطة أو أكثر من الروابط. وتقدم هذه الآلية التي تحدث فيها التفكك - "تجريد" "peeling off" تدريجياً للمانحات بدلاً من الإزالة الهائلة لكل المانحات في الحال.

مع الإثيرات التاجية والكريبياندات ، يتم النظر مرة ثانية في الاستقرار فإنه من الممكن أن يكون نتيجة لكون  $k_f$  أصغر من  $k_b$  ؛ فعلى سبيل المثال ، بالنسبة لـ  $K^+$  مع [2.2.2] في الماء فإن  $k_f = 38 \text{ s}^{-1}$  و  $k_b = 7.4 \times 10^6 \text{ M}^{-1} \text{ s}^{-1}$  ، بينما مع  $\text{Na}^+$  تاج - ٦ في الماء تكون  $k_f = 3.7 \times 10^6 \text{ s}^{-1}$  و  $k_b = 4.3 \times 10^8 \text{ M}^{-1} \text{ s}^{-1}$ . إن "التوافق (الملازمة) الأشد" "tighter fit" للأيون الفلزي في الكريبيات يعني أن  $k_b$  أصغر منه بالنسبة للإثير التاجي. إذا كان حجم الفجوة غير مثالي ، فإن التفكك هو الأسهل ، كمارأينا من قبل مقارنة مترابكات الليثيوم  $\text{Li}^+$  من [2.1.1] و [2.2.1] ، حيث  $k_b$  للمتراكم مع [2.2.1] تكون أكبر بـ  $10^4$  مرة منه بالنسبة للمتراكم [2.1.1] أو بالنسبة لمترابكات الصوديوم  $\text{Na}^+$  مع  $\text{Na}^+$ -تاج ٦ ، حيث تكون  $k_b = 2.2 \times 10^8 \text{ M}^{-1} \text{ s}^{-1}$  مشابهة جداً لسرعة تشكيل متراكم البوتاسيوم  $\text{K}^+$  حيث يكون  $k_b = 3.4 \times 10^7 \text{ s}^{-1}$  أسرع إلى حد معترض.

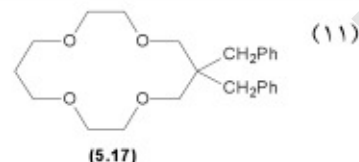
#### (٥.٨) تأثيرات حجم الفجوة وانتقائية الأيون الفلزي

##### Hole-Size Effects and Metal ion Selectivity

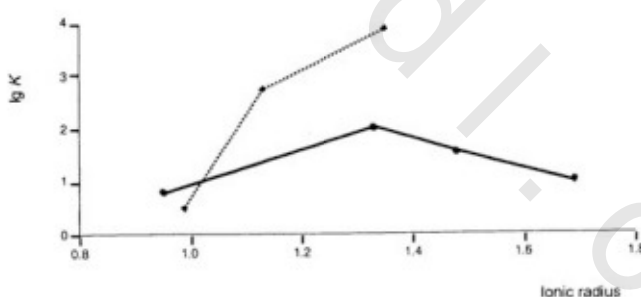
لقد كان معظم الاهتمام المبكر بالمرتبطات الحلقة الضخمة يكمن في التخصصية التي أظهرتها لتبيين الأيونات الفلزية المعينة. وقدمنا مفهوم حجم الفجوة في الفصل الثاني والإشارة بأنه يقدم مقياس قاعدة الإبهام لملائمة الأيون الفلزي للمرتبط الخاص ، برغم أننا شددنا مراراً وتكراراً على أن تغيرات الهيئة (الترتيب) تجعل القيمة لينة جداً. ويترتب على ذلك أن المرتبط في هيئة مرتبط - فلن طاقته الدنيا ستكون محسنة بالنسبة لحجم الأيون الفلزي المعين الذي حينما يرتبط بأيونات فلزية أخرى ، فإن طاقة هيئة المرتبط سوف ترتفع مع الخفاض ناتج في استقرار المتراكم. وهذا هو أصل الانتقائية الحلقة الضخمة للأيونات الفلزية. من المهم جداً التأكيد بأن عدم ملائمة حجم الفجوة الأيون الفلزي لا تعني عادة عدم حدوث التراكم ، على الأصح سوف يقل استقرار المتراكم الذي سيتشكل.

لقد تم التعرف على هذا التأثير مبكراً جداً في تطوير الكيماء الحلقية الضخمة وتركز الاهتمام الكبير على تصميم المربيطات للترابط الانتقائي إلى أيونات المجموعة الأولى والثانية. ويُظهر الشكل رقم (٥.٣) بعض البيانات لأيونات فلزات المجموعة الأولى مع ١٨-تاج-٦ ويؤكد أن أفكارنا الشخصية حول حجم الفجوة المثالي مؤكدة ببيانات ديناميكية حرارية. توضح البيانات نقطة أخرى أيضاً عموماً، بالنسبة للحجم الأيوني المعطى، أنه يزداد استقرار المترابك بزيادة الشحنة وفي الحقيقة تتلاطم الملاحظة الأخيرة هذه مع صورة الترابط في تلك المترابك التي لها درجة عالية من الصفة التساهمية. هذه إضافة مدرومة باعتبارات مفصلة لعدد هائل من مترابك الأثير التاجي التي تم تمييزها بلوريًا (كريستالوجرافياً) - على الرغم من عدم امكانية "رؤيتها" الزوج المنفرد بتجارب الأشعة السينية التقليدية، الهندسية في أغلب الأحيان مثل هذا أن متوجه أيون الأكسجين الفلزى يقع بين الموقع المتوقع للزوج المنفرد. وتتفاغم هذه مع النوع الأكثر إلكتروستاتيكية من الترابط.

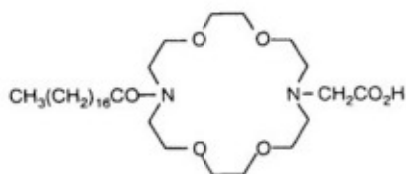
حضرت إثيرات تاجية وظيفية كثيرة في المحاولات لتحسين ترابط الأيونات الفلزية الخاصة. وتركز معظم الاهتمام على دمج الوظيفة الإضافية التي تستطيع العمل كمجموعة متفرجة لترابط الأيون الفلزى - بكلمة أخرى، يمكن أن تستعمل المربيطات كحساسات للكشف عن أيونات فلزية معينة أو كمفابيح إطلاق (حدث) الأيون الفلزى. ويشاهد المثال النموذجي بالمربيط ٥.١٧<sup>(١١)</sup> الذي استعمل في أقطاب (إلكترودات) الأيون الانتقائية وهي متخصصة لليثيوم. مثل هذه الأقطاب الأيونية



الانتقاء هي الأهم في تحليل أيونات فلزات المجموعة الأولى في السوائل الحيوية. إن الانتقاء في الترابط هي الأساس أيضاً لأنظمة المصممة لنقل الأيون عبر الأغشية. يتكون النموذج الأساسي من السائل أو غشاء بوليمرى، كما يحتوى على إثير تاجي متتحرك أو مركب متصل (ذو علاقة). يستطيع هذا بشكل خاص ربط الأيون الفلزى في جانب واحد من الغشاء، ينتشر خلال الغشاء، ويُطلق (يُحرر) الفلز على الجانب الآخر. ويشير هذا الوصف البسيط إلى العملية السلبية التي فيها اتجاه نقل الأيون يكون محكماً بتراكيز الأيون الفلزى على جانبي الغشاء. المركب 5.18 هو المثال للمرتبط المستعمل بهذه الطريقة، والذي تم استعماله لنقل أيونات البوتاسيوم خلال غشاء بلوري سائل /بوليمر مركب. عرضت هذه المساحة الأخيرة بعض البصائر المقيدة لدور أيونات الصوديوم والبوتاسيوم في الإرسال العصبى *neurotransmission*، بالرغم من أن عملية نقل الصوديوم نشيطة - إلا أنها تضخ أيونات الصوديوم خلال الغشاء.

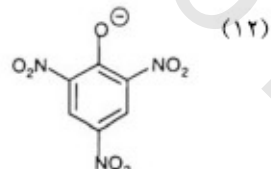


الشكل رقم (٥.٣). بيانات ثابت الاستقرار ( $K_r$ ) لمتراكيبات كاتيونات المجموعة الأولى الأحادية (الخط المتصل) وكاتيونات المجموعة الثانية (الخط المنقط) مع ١٨-تاج-٦. تم استعمال أنشاف الأقطار الأيونية التقليدي.



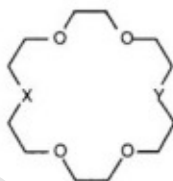
(5.18)

لقد أعطى الاهتمام الكبير إلى تصميم المربطات بالنسبة للاستخلاص الانتقائي للأيونات الفلزية من المحلول المائي إلى الأطوار العضوية واهتمت معظم الدراسات المبكرة بأيونات فلزات المجموعة الأولى. تكمن إحدى الصعوبات بهذه الدراسة في دور الأيون المعاكس. هناك دراسات كثيرة استعملت بيكراتات picrates الفلز القلوي لأن اللون الأصفر للبيكرات<sup>(١١)</sup> المستخلص في الطور العضوي يسمح بالقياس السريع لكفاءة الاستخلاص بقياس الشدة النسبية لموجات الطيف (بالفوتومترية الطيفية spectrophotometry). وبرغم ذلك، رسمت الدراسات الكристalogرافية العديدة أن أيونات البيكرات تتناسب عادة إلى أيون الفلز في متراكبات إثير تاجي - بيكرات فلز المجموعة الأولى. هكذا، أشارت نسب الاستخلاص والبارامترات الديناميكية الحرارية المحددة (المقدرة) فقط إلى النظام الذي فيه الأيون المعاكس هو البيكرات ولم يتمكن من تمديده ببساطة لتوقع السلوك عندما توجد مخالفات من الأنيونات الأبسط.



picrate

قد يؤثر وجود الذرات المانحة المختلطة ضمن المرتبط الحلقي الضخم على الاستقرار حتى إذا بقى حجم الحلقة ثابت. وهذا مؤكّد في استقرار متراكيات البوتاسيوم (في ميثانول) مع سلسلة من المرتبطات 5.19 - 5.22 (شكل رقم ٥.٤). وينشأ جزء التأثير من الاختلاف في حجم الفجوة كاختلاف المانحات، لكن يأتي الجزء من تفضيل أيون البوتاسيوم القاسي للذرات المانحة القاسية.



|      | X  | Y  | $\lg K$ |
|------|----|----|---------|
| 5.19 | O  | O  | 6.10    |
| 5.20 | S  | S  | 1.15    |
| 5.21 | NH | O  | 3.90    |
| 5.22 | NH | NH | 2.04    |

الشكل رقم (٥.٤). استقرار متراكيات البوتاسيوم مع سلسلة من المرتبطات المتعلقة بـ ٦-تاج-١٨ (في محلول الميثانول).

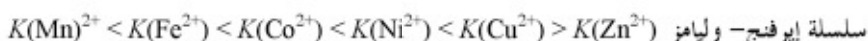
إن الاستخلاص الانتقائي لأيونات الفلزات الانتقالية هو موضوع الاهتمام التجاري الهائل. إن الطرق التقليدية للحصول على الفلزات النقيّة من خامتها تعتمد على التعدين الحراري pyrometallurgy بالعمليات الحرارية مثل التقىة بالصهر smelting. هناك قلق متزايد نحو التأثير البيئي لهذه العمليات التي تطلق كميات كبيرة من الغازات الضارة بيئياً إلى البيئة. ويؤدي احتزال الأكسيد الفلزية بالكريون إلى

إطلاق أول أكسيد الكربون السام أو ثاني أكسيد الكربون غاز البيت الزجاجي. والفلزات الموجودة كخامات كبريتيد ستعطي ثانوي أكسيد الكبريت، أحد الغازات الأساسية المشتركة في ظاهرة المطر الحمضي، عند المعالجة الحرارية في الهواء.

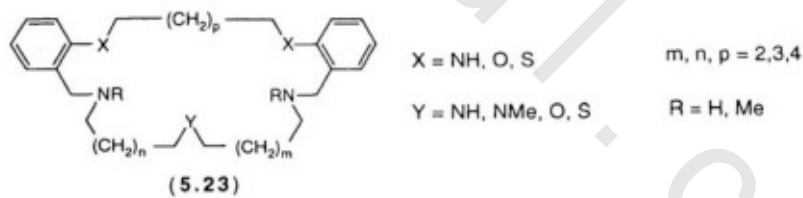
وفقاً لذلك، تفحص طرق التعدين المائي hydrometallurgy الجديدة التي فيها أكبر قدر من الكيمياء والفصل كإمكانية تنفيذها في الوسط المائي، والميزة الإضافية هي إمكانية عملها في تراكيز منخفضة جداً من الفلز وهي مرحلة لتجديد أكوام النفاية أو روابس الخام ليست السابقة برغم ذلك لتكون فعالة.

إن المنهجية الأساسية بسيطة نسبياً. ويعالج محلول المحتوى على أيون الفلز المهم بمحلول المستخلص extractant (المربط) في مذيب عضوي عديم الامتزاج (غير قابل للامتزاج) مثل البرافين. يستخلص الأيون الفلزي من الطور المائي إلى الطور العضوي والذي قد يفصل بعد ذلك. والاستخلاص الخلقي للأيون الفلزي من الطور العضوي إلى طور مائي جديد يعطي محلول غني بالأيونات الفلزية الهامة (أو في الحالات المثالية، يحتوي على الأيون الهام فقط). ينجز الاستخلاص الخلقي - في أغلب الأحيان - باستعمال محلول المائي الذي يحتوي تراكيز أيون الكلوريد المختلفة، أو عند أس هيدروجيني  $pH$  مختلف عن الطور الأصلي. وهذه معروفة بطرق تأرجح - الكلوريد chloride-swing أو تأرجح pH. أخيراً، يتتركز الأيون الفلزي إلى الشكل المطلوب بالمنهجية التقليدية. ففي حالة استخلاص النحاس، فإن النتيجة النهائية هي محلول مائي يحتوي أملاح النحاس الثنائي. وينتتج التحليل الكهربائي فلز النحاس النقي.

تكون المشكلة في أن كل التعديات المائية تعمل ضد سلسلة إيرفنج - ولIAMZ Irving-Williams. هذه السلسلة ملاحظة بشكل تجريبى حيث تجد ذلك لأغلبية المرتبطات ، استقرار متراكباتها مع فلزات الصف الأول الانتقالية معطاة من قبل :



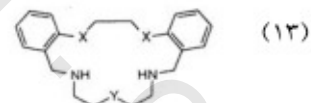
بينما تكون هذه أخبار جيدة إذا كان الغرض استخلاص النحاس ، فإن هناك صعوبات واضحة إذا كان الهدف هو لربط النيكل الثنائي انتقائياً في وجود النحاس الثنائي. تنشأ سلسلة إيرفنج - ولIAMZ من ضم تأثيرات مجال المرتبط (حيث يتوقع أن تكون طاقات استقرار مجال المرتبط عند الحد الأعلى لمتراتبات النيكل الثنائي مرتفع المغزليه) وتشوه جان - تلر Jahn-Teller المشاهد في المتراتبات سداسية التناسق لأيون النحاس الثنائي <sup>d</sup>. وقد كان من المؤمل أن تقدم تأثيرات حجم الفجوة عاملاً إضافياً يسمح بالانتقائية لتكون متناغمة ولخدوث أقصى ترابط مع الايونات الفلزية باستثناء النحاس الثنائي .



كناحية تاريخية ، فإن سلسلة المرتبطات من البنية العامة 5.23 ذات أهمية ، بالرغم من أن حلقات رباعي أزا الضخمة قد تبدو أنها الاختيار الواضح لتصميم مرتبطات انتقائية لأيونات الفلزات الانتقالية ، إلا أن لها عدداً من العيوب. وتكون المشكلة الأكثر أهمية في الخواص الحركية التي ناقشناها سابقاً في هذا الفصل. وقد

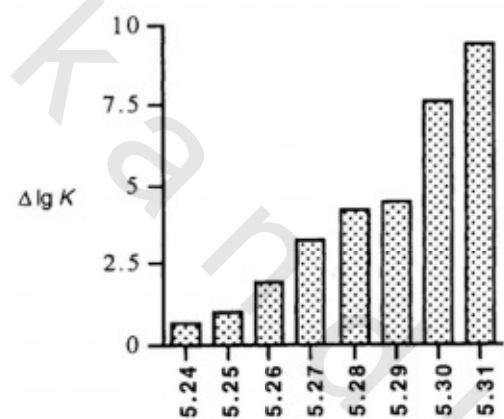
رأينا أن كلاً من تفاعلات التراكب وفض (عدم) التراكب بطيئة. في عملية الاستخلاص المثالية، يجب أن ينجز توزيع اتزان الأيونات الفلزية بين الطورين بسرعة - بشكل خاص، يجب أن يكون التفاعل الخلفي المتضمن فض التراكب لمتراكب حلقي ضخم سريع. وهذه مهمة بشكل خاص إذا كانت الانتقائية للأيون الفلزي المطلوب ليست عالية جداً ومن الضروري أن يتكرر تتابع استخلاص-استخلاص خلفي عدة مرات لإنجاز فصل كفؤ. وفقاً لذلك، فإن الحلقات الضخمة مختلطة المانح 5.23 التي تمتلك تفاعلات تراكب خلفية وأمامية سريعة إلى حد معقول لها العديد من المميزات<sup>(١٢)</sup>.

إن متراكبات النحاس الثنائي مع هذه المرتبطات تمتلك استقراريات تتفاوت أكثر من عشرة رتب من المقدار، مع حدوث زعزعة قصوى عندما تدمج مانحات الكبريت. ويتوافق هذا مع شعورنا الشخصي بأن النحاس الثنائي قاسي. بينما يرى الاتجاه المماثل في استقرارية متراكبات النيكل الثنائي ولا تحدث عكس ترتيب إيرفنج-وليامز.



|      | X  | Y  |
|------|----|----|
| 5.24 | O  | NH |
| 5.25 | NH | NH |
| 5.26 | O  | O  |
| 5.27 | NH | O  |
| 5.28 | S  | NH |
| 5.29 | O  | S  |
| 5.30 | S  | O  |
| 5.31 | S  | S  |

إن القيمة الحقيقية لسلسلة مرتبطات هذا النوع تُرى في تحقيقها حد أقصى الانتقائية لزوج آخر من الأيونات الفلزية هما: الفضة الأحادية، والرصاص الثنائي. ومن إحدى طرق إظهار كفاءة المرتبط الخاص تكون بإعطاء قيم  $\Delta \lg K$  هي الفرق في استقرارية مترابكبات الفضة والرصاص مع المرتبط الحلقي الضخم). القيم الأكبر من  $\Delta \lg K$  ، تكون لانتقائية الأعظم بالنسبة لأيون الفضة. وبيانات سلسلة المترابكبات معطاة في الشكل رقم (٥.٥).

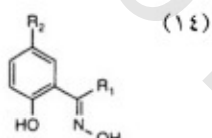


الشكل رقم (٥.٥). قيم  $\Delta \lg K$  لمترابكبات الفضة الأحادية والرصاص الثنائي من المرتبطات ٥.٣١-٥.٢٤. مترابك الفضة في كل الحالات هو الأكثر استقراراً.

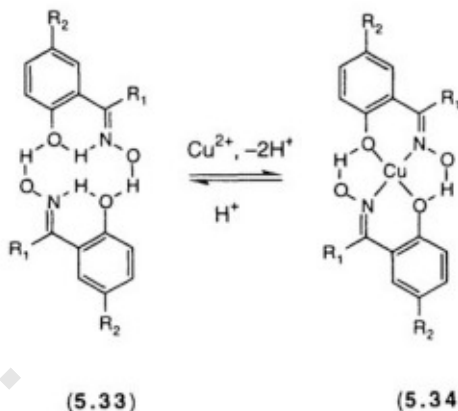
لاستنتاج هذا المقطع، ربما يكون السؤال الذي له علاقة وثيقة، هل من الضروري استعمال المرتبطات الحلقيه الضخمه لتحسين انتقائية الاستخلاص؟ فمن الواضح أن سلسلة المرتبطات المناقشه أعلاه قادره على تحقيق الدرجة القصوى ، لكننا لاحظنا في كافة أنحاء هذا الكتاب أن تشيد المرتبطات الحلقيه الضخمه ليس سهلاً دائمًا

وأنه يجب أن تستعمل الطرق الخاصة لإغلاق الحلقة في أغلب الأحيان. إذا استعملت هذه المرتبطات بنجاح في التعدين المائي، فإنه يكون ضرورياً لتحضير كميات متعددة الكيلوجرامات، وحتى في عمليات إعادة التدوير الأكثر كفاءة، فإنه سيحدث فقد بعض من المرتبط بين دورات الاستخلاص.

تستعمل الغالبية من عمليات التعدين المائية المتضمنة استخلاص النحاس مرتبطات مثل 5.32، وهي بشكل واضح ليست حلقة ضخمة! وفي الحقيقة، قد يعتقد أن 5.32 كمرتبط حلقي ضخم تميادي (أولي) وتعطي المبادئ المحددة في هذا الوصف إمكانيات جديدة ومثيرة من أجل تصميم المرتبط. بالرغم من أن 5.32<sup>(٤)</sup> ليس حلقة ضخمة، فإن جزيئين يستطيعان أن يرتبطا برابطة هيدروجينية لتشكيل النظام الحلقي الضخم الكاذب 5.33 *pseudomacrocyclic system*. وهذا فعلاً في المرتبط الحلقي الضخم الذي فيه رابطتان من الروابط التساهمية الخارجية تم استبدالهما بالروابط الهيدروجينية. ويتصرف المركب ثانوي الجزيئات dimer كالمانح  $\text{N}_2\text{O}_2$  ليعطي مترافق النحاس 5.34. إن المستبدلات  $\text{R}_1$  و  $\text{R}_2$  هيمجموعات ألكيل السلسلة الطويلة التي تمنع الذوبانية في المذيبات اللا مائية وينتقل مترافق النحاس إلى الطور اللا مائي. إن تشكيل مترافق النحاس 5.34 يكون مصحوب بإزالة بروتون المرتبط، وهذا يسمح للنحاس أن يكون مستخلصاً خلقياً من المترافق بتارجع pH؛ استخلاص إلى المحلول المائي الحمضي يبرهن المرتبط ويحرر أيونات النحاس الثنائي (الشكل رقم ٥.٦)



(5.32)



الشكل رقم (٥.٦). يتحكم في استخلاص النحاس الثنائي عبر طبق حلقي ضخم كاذب ثانوي الجزيئات بتارجع pH. لم تميز الروابط الهيدروجينية بشكل واضح من الروابط التساهيمية داخل البيبات.

من الملاحظ أن الرابطة البيدورجينية (وفي الحقيقة تفاعلات ثانوية أخرى) قد تستعمل للتحكم في تشكيل الحلقة الضخمة، ومن المحتمل أن تؤدي أصنافاً جديدة، عديدة من المرتبطات بخواص غير عادية. ونختم هذا الفصل بالسؤال - هل يجب على متراكب النيكل الثنائي من ثنائي ميشيل جليوكسيم 5.35، والذي يكون مألفاً إلى أجيال الطلاب كراسب أحمر يتم الحصول عليه في التحليل الوزني للنيكل، كونه معتبراً كمتراكب حلقي ضخم كاذب الذي فيه المرتبط وحدتين من الأوكسيم؟

